

# 임베디드 리눅스 기반의 지문 인식 시스템 구현

## Implementation of Fingerprint Cognition System Based on the Embedded LINUX

\*배 은 대, \*\*김 정 하, \*\*남 부 희  
(Eun Dae Bae · Jeoung Ha Kim · Boo Hee Nam)

Abstract - In this paper, we have designed a Fingerprint Recognition System based on the Embedded LINUX. The fingerprint is captured using the AS-S2 semiconductor sensor. To extract a feature vector we transform the image of the fingerprint into a column vector. The image is row-wise filtered with the low-pass filter of the Haar wavelet. The feature vectors of the different fingerprints are compared by computing with the probabilistic neural network the distance between the target feature vector and the stored feature vectors in advance. The system implemented consists of a server PC based on the LINUX and a client based on the Embedded LINUX. The client is a Tynux box-x board using a PXA-255 CPU. The algorithm is simple and fast in computing and comparing the fingerprints.

**Key Words** : Embeded System, Fingerprint, Wavelet transform, Probabilistic neural network

### 1. 서 론

최근 들어 급격히 발전하고 있는 임베디드 기반의 시스템들은 기존의 PC보다 저하되는 환경을 가진다.

이러한 임베디드 시스템 기반의 지문인식 시스템을 구축하는데 있어서의 어려운 점은 지문 데이터의 방대한 양을 보다 빠르게 획득하고, 보다 정확하게 비교하는데 있어서의 문제점에 기인한다. 본 논문의 목적은 휴대가 가능한 임베디드 시스템에서, 지문을 보다 빠르게 인식, 비교할 수 있도록 하는 것이다. 본 논문에서는 이러한 조건을 만족시키기 위해, 두가지 방법을 채택했다. 첫째는 Wavelet Transform 이며, 둘째는 Probabilistic Neural Network 이다. 그림 1은 본 논문의 전체적인 구조를 나타낸 것이다.

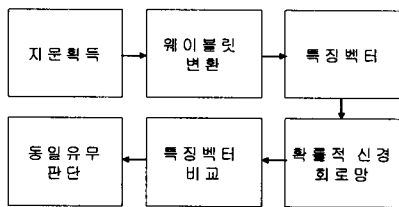


그림 1 시스템 구조  
Fig 1 System architecture

시스템의 하드웨어적인 구성은 크게 LINUX 기반의 서버와, Embedded LINUX 기반의 클라이언트로 나뉜다[2]. 지문 이미지를 받아들이기 위하여, AF-S2 반도체식 센서를 사용하였다[3]. 획득한 지문 이미지를 이진화 하는 과정을 거친다[4]. 센서로부터 받아들이는 128\*128 Byte 크기의 지문 이미지의 특징벡터를 추출하기 위해 Wavelet Transform이 사용된다[5]. 마지막으로, 획득한 특징벡터와 기존의 지문 이미지의 특징 벡터를 비교하기 위하여 Probabilistic Neural Network를 채택하였다[6].

### 2. 하드웨어 구성

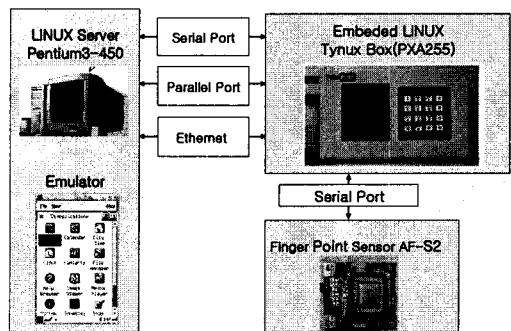


그림 2 하드웨어 구성  
Fig 2 Hardware architecture

#### 저자 소개

\* 准會員 : 江原大 공대 멀티미디어전공 석사 배 은 대  
\*\* 正會員 : 江原大 工大 제어계측공학과 석사 김 정 하  
\*\*\* 正會員 : 江原大 전기전자정보통신공학부 교수 남 부 희

본 논문에서는 사용된 시스템의 하드웨어 구성은 크게, 서버와 클라이언트로 구분되며, 서버로는, Pentium-3 프로세서를 탑재한 PC를 사용하며, 클라이언트로는 PXA255 프

로세서를 사용하는 Tynux사의 Box-x 개발보드를 사용한다. 전체적인 하드웨어 구성은 그림 2에 있다.

### 3. 지문 인식 센서

임베디드 시스템에서의 지문인식을 위한 이미지 센서는 보드와의 연동 및 확장성이 용이하고, 크기가 작고 처리속도가 빠르며, 전력 소모가 거의 없는 등의 여러 특징을 가져야 한다. 본 논문에서는 이러한 특징을 가지고 있어 임베디드 시스템에 좀 더 유리한 Authentic 사의 반도체식 센서 AF-S2를 사용한다.

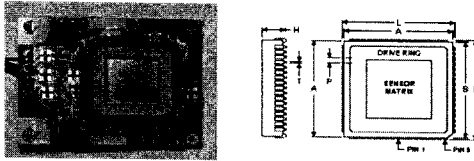


그림 3 지문 인식 센서  
Fig 3 Fingerprint cognition sensor

본 논문에서는 실시간으로 지문 이미지를 획득하여야 한다. 획득한 지문 이미지는 128\*128 크기의 그레이 레벨의 이미지이다. 본 논문에서 사용한 이미지 데이터의 양은 Serial Interface를 이용하더라도 충분히 실시간으로 획득할 수 있다. AF-S2 센서는 eight-bit data, one start bit, one stop bit 그리고, no parity를 사용한다.

### 4. 이진화

지문 센서로부터 획득한 256 흑백 영상은 이진화의 과정을 거치게 된다. 센서로부터 얻어진 이미지는 이진화를 통해, 지역적으로 밝기가 다를 수 있는 문제를 해결하게 된다. 이러한 과정은 8x8 사이즈 블록 별로 이진화 threshold 값을 다르게 설정되면서 가능하다.

$$P(i, j) = 1, \quad \frac{1}{64} \left\{ \sum_{i=1-8^*}^{8+8^*} P(i, j) \right\} < P(i, j)$$

$$P(i, j) = 0, \quad \frac{1}{64} \left\{ \sum_{8+8^*}^{8+8^*} P(i, j) \right\} > P(i, j) \quad (1)$$

(1) 식에서 i, j 값은 픽셀 넘버를 뜻하며 t값은 블록 번호에 해당된다.

### 5. 웨이블릿 변환

이진화를 통해 얻은 데이터는 웨이블릿 변환을 이용하여 특징벡터로 만들어진다. 웨이블릿이란 데이터를 다른 주파수 성분으로 분해하고, 그 크기에 맞는 해상도를 이용하여 각각의 성분을 연구하는 수학적 함수이다. 웨이블릿 변환은 신호의 시간-주파수 표현을 제공하여 동이세 시간과 주파수에 대한 정보를 제공할 수 있다. 많은 신호에 있어서, low-frequency 성분은 중요한 데이터를 담고 있다. 본 논문에서는 이러한 이유로 low-frequency 성분인 Approximation 부분만을 추출하는 방법을 사용하며, 그림 4에 나타내었다.

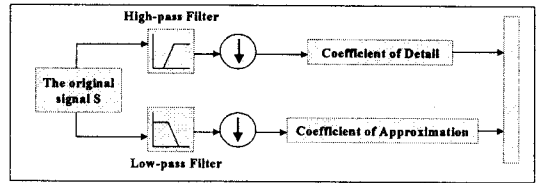


그림 4 웨이블릿 변환 과정  
Fig 4 Course of Wavelet Transform

본 논문에서는 Harr 웨이블릿 변환 과정을 거쳐 생성된 4개의 특징벡터를 가지고 지문을 인식한다. 그림 5에 특징 벡터를 얻는 과정을 도식화 하였다.

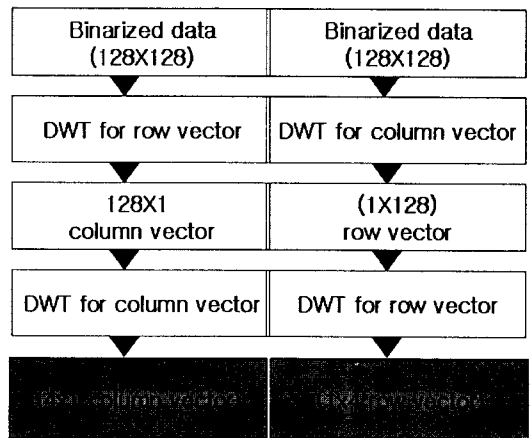


그림 5 특징 벡터 추출 방법  
Fig 5 Way to derive special vector

그림 6은 상부는 용기되어 있고, 하부는 수평에 가까운 형태를 가진 지문 이미지이다. 그림 7은 그림 6의 지문 이미지를 행별로 웨이블릿 변환 과정을 거친 1\*128 개의 데이터이다. 즉, 각 행에 저주파 필터를 통과 시키면 지문의 상부는 용선과 계곡의 변화가 심하므로 데이터의 변화가 크지만, 하부는 그 변화가 상부에 비해서 크지 않다는 것을 알 수 있다.



그림 6 원본이미지  
Fig 6 Origin Image

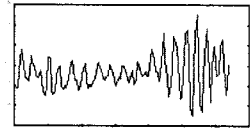


그림 7 웨이블릿 변환후  
Fig 7 Later Wavelet Transform

그림 8은 여러 종류의 지문에 따른 특징 벡터가 다른 패턴으로 나타나는 것을 보여준다.

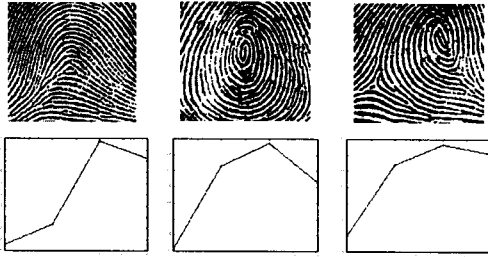


그림 8 지문의 특징 벡터  
Fig 8 feature vector of fingerprint

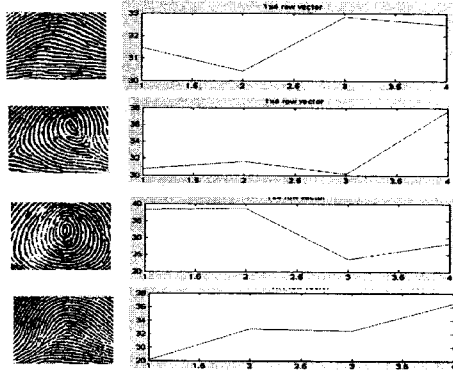


그림 9 지문의 특징 벡터  
Fig 9 special vector of fingerprint

그림 8에서 보인 특징벡터로 구분하기 힘든 공상문 타입의 지문이미지 인식을 위해 열방향의 특징벡터 4개를 사용하였으며 그에 대한 그래프가 그림 9이다.

## 6. 확률적 신경망

본 논문에서는 웨이블릿 변환을 통해 얻어진 특징벡터를 클라이언트에 저장한 후, 새롭게 입력된 지문 이미지의 데이터에 대해서 같은 방법으로 특징벡터를 구한 후 PNN을 이용하여 비교해 오차 범위내의 유사한 지문을 찾아내도록 하였다. 다음은 PNN을 구하는 식이다.

$$D_{ij} = \exp\left(-\frac{1}{2\sigma^2} d_{ij}\right), \quad d_{ij} = \sum_{k=1}^n (x_i(k) - x_j(k))^2 \quad (2)$$

- $n$  : size of feature vector  $x_i$
- $d_{ij}$  : distance of the  $x_i$  from  $x_j$
- $\sigma$  : smoothing parameter
- $D_{ij}$  : output activation of PNN

그림 10은 5개의 서로 다른 지문의 특징 벡터를 구한 후 첫 번째 지문의 특징 벡터와의 거리를 계산하여 그래프로 그린 것이다. 그림 11은 그림 9의 벡터거리를 PNN에 입력한 결과 값을 나타낸 것이다. 첫 번째 것은 벡터거리가 0이므로 PNN 출력 값은 1이 되게 하고 정확도가 100% 라는 것을 의미한다. 다른 지문들과의 벡터거리의 그 값이 크므로 PNN 출력이 0이 됨을 알 수 있다. 식(1)의  $\sigma$ 의 값을 조

절함으로 벡터거리의 값이 크더라도 PNN의 출력이 0이 되지 않게 조절할 수 있다. 이 값을 조절함으로 타인수락률(FAR), 본인거부율(FRR)을 조절할 수 있다.

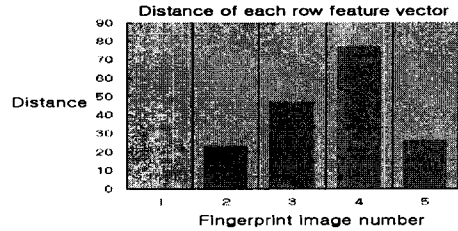


그림 10 특징벡터간의 거리  
Fig 10 distance of each pecia lvector

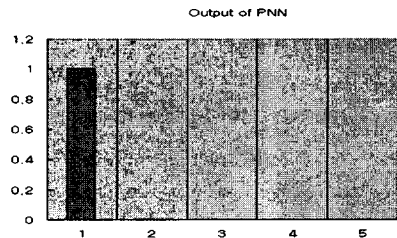


그림 11 확률적 신경망 출력값  
Fig 11 Output of PNN

## 7. 결 론

앞의 실험 결과를 통해 실제 구현에 있어서 지문의 형태가 다르면 인식률이 높아짐을 알 수 있다. 하지만 입력된 지문이 목표지문에 비해 회전하거나 크게 이동하면, 변별력이 떨어짐을 알 수 있다. 이러한 단점을 극복하기 위해 실제 입력 장치에 손가락의 위치변화와 회전을 억제하는 가이드를 설치하는 것이 필요하다. 또한 유사한 타입의 지문이 입력되었을 경우에도 변별력이 떨어지는 경우가 있는데, 아주 유사한 모양의 공상문 타입의 지문 입력이 그것이다. 이 경우는 PNN의 출력의 차이가 크지 않은 경우가 발생된다. 이러한 경우 DWT를 이용해 특징벡터를 추출할 때 열별 특징벡터를 추출하여 변별력을 높일 수 있지만 그에 따른 계산량의 증가는 불가피하다.

## 참 고 문 헌

- [1] Henry C. LEE and R. E. Gaensslen, *Advances in fingerprint Technology*, CRC Press, 1994.
- [2] Harold Szu, Charles Hsu, Joe Garcia, and Brian Telfer, "Fingerprint Data Acquisition, De-Smearing, Wavelet Feature Extraction & Identification," *SPIE Vol.2491*, pp.96-118, 1995.
- [3] Seok Won. Lee, "Fingerprint recognition using wavelet transform and probabilistic neural network", *International Joint Conference on Neural Networks '99*, pp.2044-,1999